

محیط رسوبی، دیاژنر و چینه‌نگاری سکانسی سازند فهلیان در چاه B میدان نفتی کیلورکریم

لیلا آزاد شهرکی^۱، حسین رحیم‌پور بناب^{۲*} و محسن رنجبران^۳

۱- گروه زمین‌شناسی، دانشگاه آزاد اسلامی، واحد علوم و تحقیقات، تهران

۲ و ۳- دانشکده زمین‌شناسی، پردیس علوم، دانشگاه تهران، تهران

نویسنده مسئول: rrahimp@gmail.com

دریافت: ۹۶/۱۲/۲ پذیرش: ۹۶/۱۲/۲

چکیده

سازند کربناته فهلیان (به سن نئوکومین) یکی از مخزن‌های مهم گروه خامی در جنوب‌باخته ایران است. در این پژوهش، توالی رسوبی سازند فهلیان در میدان کیلورکریم، واقع در دزفول جنوبی، با ستبرای ۵۲۰ متر به منظور شناسایی ریزرسارهای، محیط رسوبی، فرآیندهای دیاژنر و چینه‌نگاری سکانسی مورد بررسی قرار گرفت. با بررسی برش‌های نازک میکروسکوپی (۴۹۰ عدد)، ۱۱ ریزرساره وابسته به کمریند رخسارهای شناسایی گردید که، بر پایه ویژگی‌های شناخته‌شده از محیط‌های رسوبی شاخص، همه آن‌ها در محیط رمپ کربناته هم‌شبیب نهشته شده‌اند. برتری رخسارهای (از دید فراوانی) در این برش با زیرمحیط رمپ درونی و بهویژه کولاپ بوده است. بنابراین می‌توان دریافت که این ناحیه در زمان نهشت سازند فهلیان، بخش‌های کمزرفای و حاشیه‌ای حوضه رسوبی زاگرس را تشکیل می‌داده است. بر پایه بررسی‌های سنگنگاری، مهم‌ترین فرآیندهای دیاژنر که کربنات‌های این سازند را زیر تأثیر قرار داده‌اند، میکریتی شدن، نوریختی، سیمانی شدن، اتحال، فشردگی، دولومیتی شدن، شکستگی و پیریتی شدن بوده‌اند. بررسی‌های چینه‌نگاری سکانسی منجر به شناسایی سه سکانس رسوبی رده سوم دربرگیرنده دسته‌های رسوبی پیشرونده و تراز بالا برای سازند فهلیان شد. مرز زیرین سکانس نخست، از نوع اول و سایر مرزهای سکانسی از نوع دوم می‌باشدند. با توجه به عدم گسترش فرآیندهای دیاژنر مؤثر در کیفیت مخزنی و حجم زیاد گل آهکی متأثر از محیط رسوبی، کیفیت مخزنی سازند فهلیان در میدان کیلورکریم پایین است.

واژه‌های کلیدی: سازند فهلیان، میدان نفتی کیلورکریم، محیط رسوبی، دیاژنر، چینه‌نگاری سکانسی، کرتاسه، زاگرس

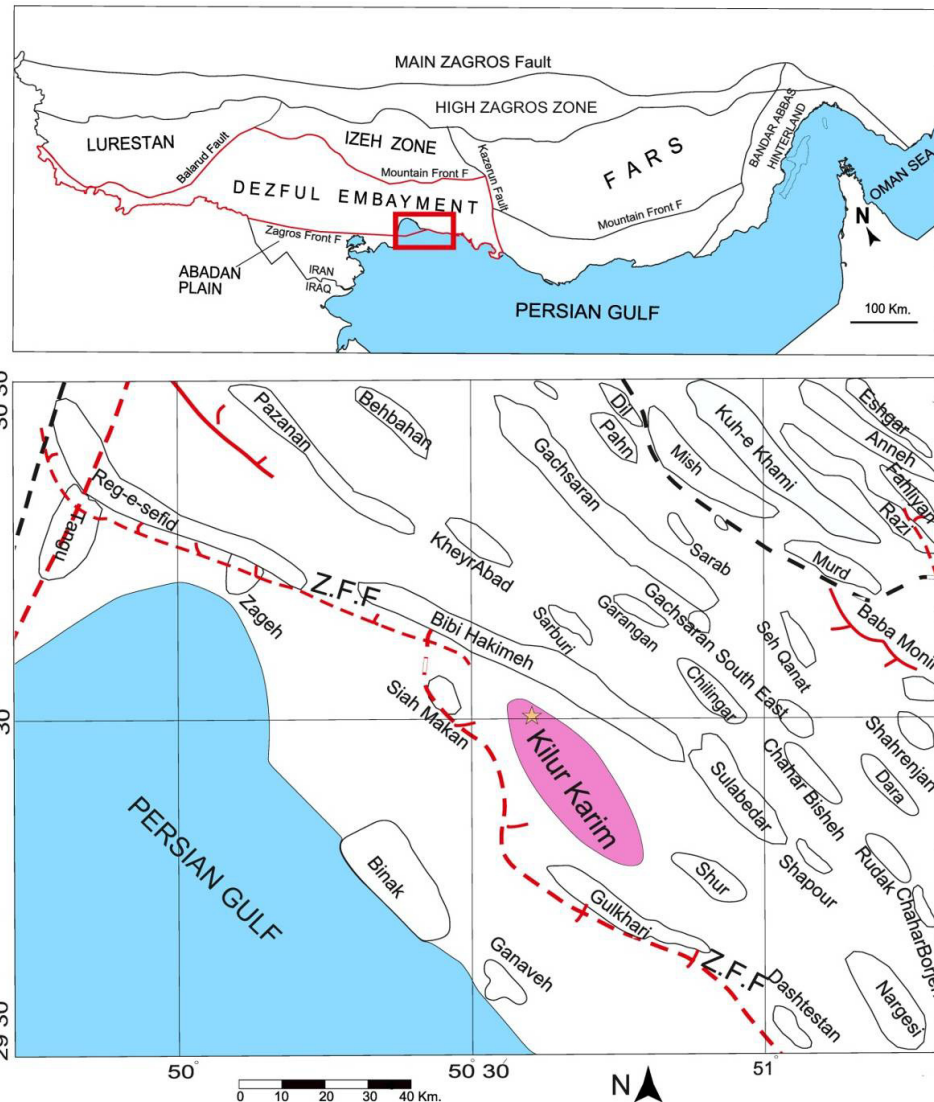
۱- مقدمه

سازند گرو تبدیل می‌شود (مطیعی، ۱۳۷۲). برش نمونه این سازند در منطقه زاگرس چین خورده (۹۰ کیلومتری جنوب‌خاوری شهرستان گچساران) اندازه‌گیری و تعریف شده است (جیمز و وايند، ۱۹۶۵). در برش نمونه، این سازند عمدتاً از سنگ‌آهک‌های ستبر لایه مربوط به محیط رسوبی کمزرفای دارای فرامینیفر کفزی و جلبک‌های فراوان تشکیل شده است. حد پایینی سازند فهلیان با دولومیت‌های تیره‌رنگ سازند سورمه در برش نمونه، همساز است اما در مناطقی که سازند هیث گسترش دارد، این سازند حد زیرین سازند فهلیان را تشکیل می‌دهد. مرز بالایی این سازند در برش نمونه با مارن‌ها و سنگ‌آهک‌های سازند گدوان قابل انتبار است (مطیعی، ۱۳۷۲). میدان کیلورکریم در بخش جنوبی (مطیعی، ۱۳۷۲) در امتداد میدان‌های بی‌بی حکیمه، شور، سولادر، گلخاری و سیاه‌مکان واقع شده است (شکل ۱). در این پژوهش، توالی رسوبی سازند فهلیان در چاه B میدان

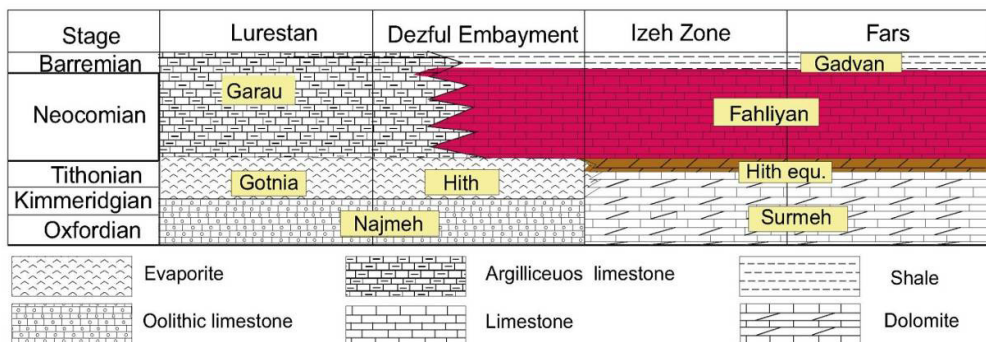
حوضه زاگرس در منطقه جنوب‌باخته ایران یکی از مهم‌ترین ایالات هیدرولوکرین جهان به شمار می‌رود که در حاشیه شمال‌خاوری ورقه عربی واقع گردیده است (شارلن و همکاران، ۲۰۰۱). در این ایالت، بخش مهمی از ذخایر هیدرولوکرینی توسط توالی‌های کرتاسه میزانی می‌شود (مطیعی، ۱۳۷۲). سازند فهلیان با سن کرتاسه زیرین (نئوکومین) از مخازن مهم هیدرولوکرینی گروه خامی است و به دلیل دارا بودن توان مخزنی، پژوهش‌های گوناگونی بر روی آن انجام شده است (پیریابی و همکاران، ۱۳۸۳؛ ون بوخم و همکاران، ۲۰۰۶؛ کاووسی و همکاران، ۱۳۸۸؛ آدابی و همکاران، ۲۰۱۰؛ ملکی و لاسمی، ۲۰۱۱؛ جمالیان و همکاران، ۲۰۱۱؛ صحراییان و همکاران، ۲۰۱۳؛ حسینی و همکاران، ۲۰۱۳؛ جمالیان و آدابی، ۲۰۱۵). سازند فهلیان در همه ناحیه‌های فارس تا بخش جنوبی فروافتادگی دزفول و همچنین خلیج فارس دارد و در بخش شمالی دزفول به

شیل‌ها و مارن‌های گدوان و مرز پایینی به طور ناپیوسته به تبخیری‌های ژوراسیک بالایی سازند هیث محدود شده است (شکل ۲).

کیلور کریم با ستبرای ۵۲۰ متر به منظور شناسایی ریز رخساره‌ها، محیط رسوبی، فرآیندهای دیازنزی و چینه‌نگاری سکانسی مورد بررسی قرار گرفته است. مرز بالایی سازند فهلهای در این برش به طور پیوسته به



شکل ۱. جایگاه چگونه‌یابی برش زیرسطحی مورد مطالعه (با تغییرات از مقصودی و شرکتی، ۱۳۸۰)



شکل ۲. جایگاه چینه‌ای سازند فهلهای در دزفول جنوبی (با تغییرات از جیمز و وایند (۱۹۶۵))

A). دانه‌های کوارتز در اندازه سیلت که توسط باد منتقل شده‌اند، با فراوانی کمتر از پنج درصد در آن پراکنده‌اند. از ویژگی‌های این ریزرساره، گسترش خوب فابریک روزنه‌ای و نبود هرگونه بیوکلاست است. باتوجه به شواهد یادشده برای این ریزرساره و در مقایسه با محیط‌های کربناته امروزی مانند خلیج فارس (فریدمن، ۱۹۹۵)، این ریزرساره می‌تواند در پهنهٔ فراکشنی تشکیل شده باشد و برابر RMF22 فلوگل (۲۰۱۰) است.

(Stromatolite) MF2 - باندستون استرماتولیتی boundstone

ریزرساره باندستون استرماتولیتی از لامیناسیون نازک، رشتلهای جلکی و تناوب آن با لامینه‌های میکریتی ساخته شده است. این ریزرساره از لامیناسیون نازک رسوبات با منشاء آلی - رسوبی ساخته شده که توسط انباست میکروبی طی فرآیند پایدارسازی دانه‌ها ایجاد می‌شوند (وارن، ۲۰۰۶). از ویژگی‌های ریزرساره باندستون استرماتولیتی می‌توان به وجود ترک‌های گلی، دولومیتی شدن، فابریک روزنه‌ای و حضور محدود پلووید و استراکد اشاره کرد (شکل ۳، تصویر B). این ریزرساره در ارتباط با زیر محیط میان‌کشنده بوده (پالما، ۲۰۰۷) و برابر RMF22 فلوگل (۲۰۱۰) است.

(Peloid) MF3 - پکستون-گرینستون پلوویدی packstone-grainstone

بیش از ۶۰ درصد این ریزرساره از پلوویدهای با جور شدگی خوب، نیمه گرد شده تا نیمه زاویدار همراه با مقادیر کمی استراکد و خرد سیانوباکتری ساخته شده است که دارای فابریک روزنه‌ای می‌باشد (شکل ۳، تصویر C). فشردگی سبب تغییر شکل دانه‌های پلووید و خردشده‌گی در برخی از آن‌ها شده است. این ریزرساره با توجه به رخساره‌های همراه^۳، وجود فابریک روزنه‌ای و اجزای استراکد و سیانوباکتری، در زیرمحیط میان‌کشنده نهشته شده است.

۲-۱-۳ - ریزرساره‌های کولاپ^۴

(Bioclast) MF4 - مادستون/وکستون بیوکلاستی mudstone / wackestone

بخش مادستونی این ریزرساره، با فراوانی آلوکمی سه تا هفت درصدی، به ترتیب، در پرگیرنده خردشده‌ای جلک

۲- روشن پژوهش

در این پژوهش، افزون بر بهره‌گیری از نمودار پتروفیزیکی (لاگ گاما)، ۴۹۰ بُرش نازک تهیه شده از مغزه‌ها و خردشده‌ای حفاری مربوط به چاه B از میدان کیلوکریم مورد بررسی میکروسکوپی قرار گرفت. شایان یادآوری است که بیشتر نمونه‌های مغزه، در راستای شناسایی کلسیت از دولومیت، با محلول آلیزارین سرخ، بر پایه روش دیکسون (۱۹۶۶)، رنگ‌آمیزی شده و برای شناسایی درصد فراوانی اجزای سازنده سنگ از جدول‌های مقایسه چشمی (باسلی و بوسلینی، ۱۹۶۵) بهره‌گیری شد. ریزرساره‌ها بر پایه تفاوت‌های بافتی، نوع و میزان فراوانی دانه‌های اسکلتی و غیراسکلتی، فراوانی خمیره و سیمان نمونه‌ها شناسایی و جدا گشته و بر پایه رده‌بندی دانهام (۱۹۶۲) و امبری و کلوان (۱۹۷۱) نام‌گذاری شدند. ریزرساره‌های شناسایی شده با ریزرساره‌های استاندارد فلوگل (۲۰۱۰) و ویلسون (۱۹۷۵) مطابقت داده شده‌اند؛ سپس جایگاه ریزرساره‌های شناسایی شده در مدل رسوبی و همچنین نوع محیط رسوبی، با مدل‌های رسوبی شاخص (ویلسون، ۱۹۷۵؛ بورچت و رایت، ۱۹۹۲؛ فلوگل، ۲۰۱۰) مقایسه و شناسایی شد. از لاگ گاما در کنار بُرش‌های نازک میکروسکوپی برای کمک به شناسایی سطوح کلیدی سکانس‌های رسوبی بهره‌گیری شد. همچنین عوارض دیازنزی کربنات‌های فهلیان در چاه یادشده، شناسایی و توصیف گردید.

۳- شرح و تفسیر ریزرساره‌ها

بر پایه بررسی سنگنگاری، ۱۱ ریزرساره وابسته به پنج کمربند رخساره‌ای شناسایی شد که به ترتیب از سمت خشکی به دریا به شرح زیر می‌باشند:

۱-۱-۳ - ریزرساره‌های رمپ درونی^۱

۱-۱-۳ - ریزرساره‌های پهنه کشنده^۲

(Dolomudston) MF1 - مادستون آهکی/دولومیتی / lime mudstone

این ریزرساره از گل آهکی، گل آهکی دولومیتی شده و دولومیت‌های ریز بلور ساخته شده است (شکل ۳، تصویر

^۱ Facies association

^۲ Lagoon

^۳ Inner ramp

^۴ Tidal flat

گاستروپود و استراکد می‌باشند (در جمع نزدیک ۱۰ تا ۲۰ درصد) که در یک خمیره میکریتی قرار گرفته‌اند (شکل ۳، تصویر E). از ویژگی‌های بارز این ریزخساره می‌توان به دو فرآیند میکریتی‌شدن و زیست‌آشفتگی اشاره کرد. این ریزخساره برابر با RMF20 فلوگل (۲۰۱۰) است. وجود پلویید (کادجنوویک و همکاران، ۲۰۰۸)، خمیره میکریتی، همراهی جلبک و فرامینیفرهای کفزی (فلوگل، ۲۰۱۰) و گستردگی پدیده‌های میکریتی‌شدن و آشفتگی زیستی (مار و همکاران، ۲۰۰۹) نشان از تشکیل این ریزخساره در یک زیرمحیط کم‌ژرفای و کم انرژی همچون کولاب دارد.

- MF6 - فلوستون استرماتوپورووییدی پلوییدی (Peloid stromatoporoid floatstone)

آلوم کمی اصلی این ریزخساره، استرماتوپوروویید در اندازه ۱ تا ۵ میلی‌متر و با فراوانی ۳۵ درصد می‌باشد. از دیگر اجزای اسکلتی آن، لیتوکودیم، فرامینیفرهای کفزی تکستولاریا، دخانیا، میلیولید، خردۀ‌های جلبک سبز داسی کلاداسه، دوکفهای و اکینودرم (با فراوانی مجموعاً ۱۵ درصد) را می‌توان نام برد (شکل ۳، تصویر F). این ریزخساره برابر RMF17 فلوگل (۲۰۱۰) است. به طور کلی، فراوانی استرماتوپوروویید و لیتوکودیم به همراه فرامینیفرهای کفزی و جلبک‌های سبز آهکی و بافت گل پشتیبان در این ریزخساره گواه بر رسوب‌گذاری در زیرمحیط کولاب است. در چنین جایگاهی، ساختارهای زیستی کومه‌ای استرماتوپوروویید و لیتوکودیم ساخته می‌شود (کوچ و همکاران، ۲۰۰۲؛ گامت و همکاران، ۲۰۰۵؛ ورتز، ۲۰۰۹).

- MF7 - گرینستون پلوییدی اینتراکلاستدار (Intraclastic peloid grainstone)

پلویید با فراوانی ۵۰ تا ۵۵ درصد در اندازه ۰/۲ تا ۱ جزء مهم سازنده این ریزخساره است که بیشتر جوشدگی و گردشگی خوب دارد. بر پایه بودن برخی ساختارهای اولیه در پلوییدها به نظر می‌رسد که این پلوییدها از میکریتی‌شدن دانه‌های کربناته پیشین ساخته شده باشند. دیگر آلوم کم‌های دیده شده در این ریزخساره، اینتراکلاست، آئیید و مقادیری بیوکلاست شامل

سبز داسی کلاداسه، فرامینیفرهای کفزی، دوکفهای‌های نازک پوسته، گاستروپود و استراکد بوده و بخش وکستونی آن، با فراوانی بالای (۲۵ تا ۳۰ درصدی) جلبک سبز داسی کلاداسه و فرامینیفرهای کفزی (مانند تروکولینا، تکستولاریا، سدوساکلامینا، شوفاتلا، دخانیا و میلولید) و فراوانی کمتر (سه تا پنج درصدی) دوکفهای، گاستروپود، لیتوکودیم، استرماتوپوروویید، اکینودرم و استراکد شناخته می‌شود که آلوکم‌ها در یک خمیره میکریتی قرار گرفته‌اند (شکل ۳، تصویر D). افون بر دانه‌های بیوکلاستی بیان شده، پلویید با فراوانی حدود یک درصد نیز در بخش وکستونی به چشم می‌خورد. از ویژگی‌های بارز این ریزخساره می‌توان به دو فرآیند میکریتی‌شدن و زیست‌آشفتگی اشاره نمود. جلبک‌های سبز در سنگ‌آهک‌های نهشته‌شده در دریاهای کم‌ژرفای کرتاسه زاگرس به فراوانی یافت می‌شوند و تنوع بالای دارند (پروانه‌نژاد شیرازی، ۲۰۰۸؛ حسینی و همکاران، ۲۰۱۳). فراوانی جلبک‌ها در این ریزخساره نشان‌دهنده استقرار در پهنه نوری بوده و شکوفایی این زیستمندان در میحیط‌های با درجه شوری نزدیک به نرمال در ژرفای ۳ تا ۵ متر رخ داده است (ریدینگ، ۱۹۹۱). با توجه به فراوانی جلبک‌های سبز آهکی و فرامینیفرهای کفزی به همراه گاستروپودها (آدابی و همکاران، ۲۰۱۰؛ جمالیان و همکاران، ۲۰۱۱؛ صحرابیان، ۲۰۱۳)، حفظشدنگی شکل کامل روزنباران (میشرا و تیواری، ۲۰۰۶)، وجود مقادیر بالای گل در میان دانه‌ها و دانه‌های فرعی پلویید (آدابی و همکاران، ۲۰۰۴)، همچنین فرآیندهای زیست‌آشفتگی و میکریتی‌شدن (مار و همکاران، ۲۰۰۹) رسوب‌گذاری در زیرمحیط کولاب رخ داده است (بچمن و هیرج، ۲۰۰۶؛ پالما، ۲۰۰۷). این ریزخساره بیشترین ستبر استاندارد شماره ۲۰ فلوگل (۲۰۱۰) است.

- MF5 - پکستون پلوییدی بیوکلاستی peloid packstone

پلوییدها با فراوانی حدود ۴۰ درصد جزء مهم سازنده این ریزخساره هستند که در اندازه ۰/۲ تا ۱ میلی‌متر دیده می‌شوند. اجزای اسکلتی این ریزخساره به ترتیب فراوانی شامل خردۀ‌های جلبک سبز، فرامینیفرهای کفزی (تکستولاریا، میلیولید، دخانیا و سدوساکلامینا)، لیتوکودیم، استرماتوپوروویید، دوکفهای، اکینودرم،

بالای محیط در بخش میانی پشتلهای کربناته می‌باشد (تاکر، ۲۰۰۱).

۳-۲-۳- ریزرسارهای رمپ میانی^۶

Bioclast-MF10 - وکستون بیوکلاستی (wackestone)

خرده‌های اکینودرم با فراوانی ۳۰ تا ۳۵ درصد بیوکلاست اصلی این زیررساره را تشکیل می‌دهند. دیگر آلومکم‌های دیده شده در این ریزرساره، دوکفه‌ای، فرامینیفرهای کفسی (همچون شوفاتلا، سدوساکلامینا و تکستولاریا)، خرده‌های جلبک سبز و مقدار ناچیزی سوزن اسفنج می‌باشند که همگی در یک خمیره میکریتی قرار گرفته‌اند (شکل ۳، تصویرJ). این ریزرساره برابر RMF7 فلوگل (۲۰۱۰) است. از آنجا که نبود زیستمندان چارچوبساز در سکوی کربناته منجر به جابه‌جایی زیاد نهشته‌ها می‌شود و همچنین با توجه به تراپری آسان خرده‌های جلبک، این دانه‌ها می‌توانند از کولاب و پشتلهای زیرآبی تراپری و به محیط‌های دریایی باز گسترش یابند (فلوگل، ۲۰۱۰). وجود خمیره گلی به همراه فراوانی اجزای اسکلتی (اکینودرم و دوکفه‌ای) و مقدار اندک فرامینیفرهای کفسی و خرده‌های جلبک سبز نشان‌دهنده نهشت این ریزرساره در رمپ میانی است.

۳-۳- ریزرسارهای رمپ بیرونی^۷

Bioclast-MF11 - مادستون/وکستون بیوکلاستی (mudstone/wackestone)

سوزن‌های اسفنج، دوکفه‌ای‌های نازک‌دیواره و خرده‌های اکینودرم، قطعات اسکلتی هستند که با فراوانی ۱۰ تا ۳۰ درصد و در اندازه کوچک در این ریزرساره دیده می‌شوند (شکل ۳، تصویرK). این ریزرساره برابر با RMF3 فلوگل (۲۰۱۰) بوده و بهدلیل داشتن بافت گلپشتیبان، بودن سوزن‌های اسفنج و دوکفه‌ای‌های نازک‌دیواره در زیرمحیط رمپ بیرونی نهشت شده است. این ریزرساره در توالی مورد بررسی کمتر از دیگر ریزرساره‌ها و به صورت محدود دیده می‌شود.

قطعات اکینودرم، فرامینیفرهای کفسی (تکستولاریا، سدوساکلامینا و میلیولید) می‌باشند که در یک زمینه اسپاریتی قرار گرفته‌اند (شکل ۳، تصویرG). این ریزرساره برابر RMF27 فلوگل (۲۰۱۰) است. بافت دانه‌پشتیبان، جورشدگی و گردش‌گی خوب اجزاء و گسترش سیمان دریایی هم‌ستبر، تشکیل این ریزرساره را در محیط فرباتیک دریایی نشان می‌دهد (بترست، ۱۹۷۵) و وابسته به یک پشتنه کربناته است.

Bioclast-MF8 - گرینستون پلوییدی بیوکلاستی (peloid grainstone)

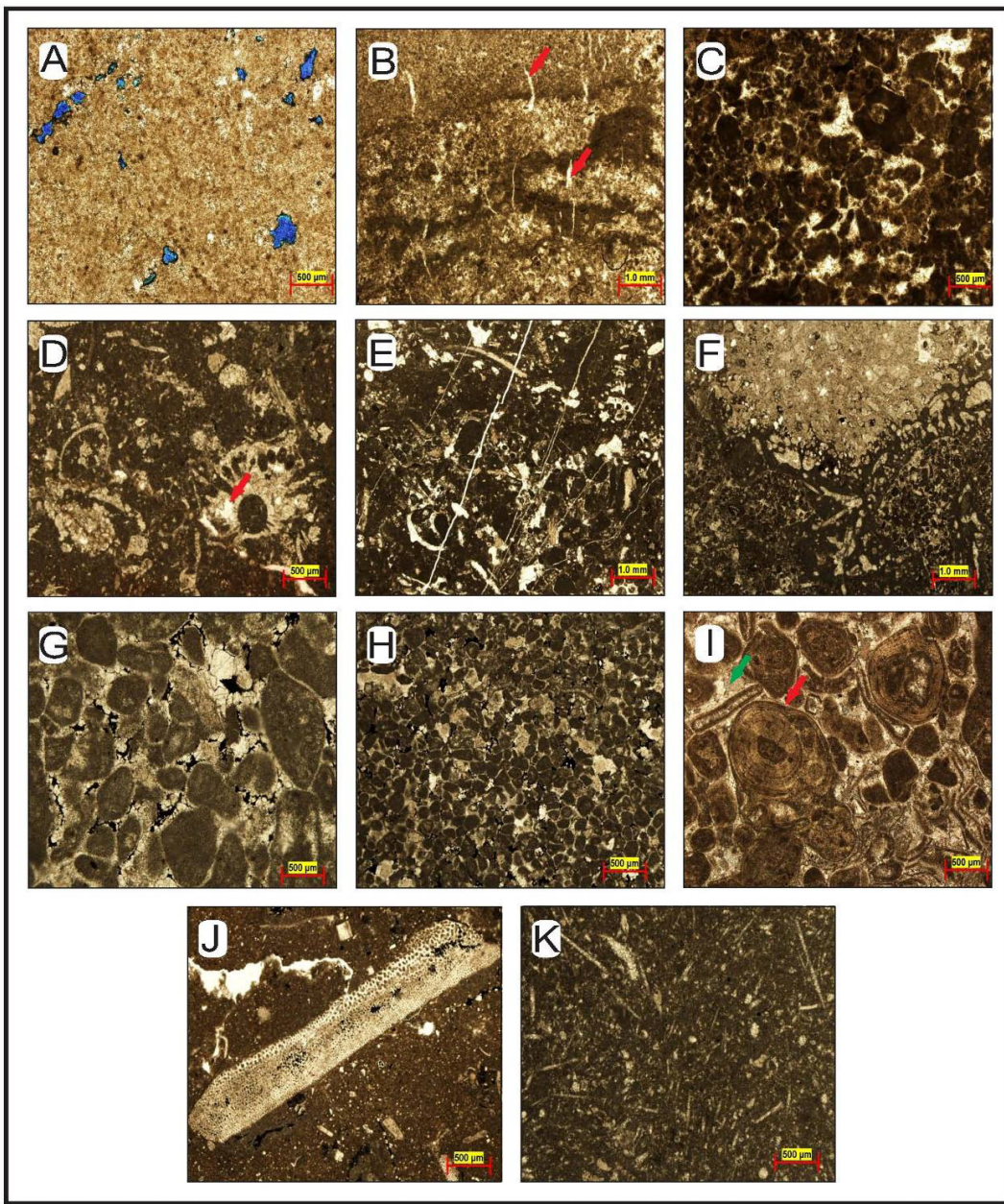
پلویید با فراوانی بیش از ۳۵ درصد و در اندازه ۱/۲ میلی‌متر، جزء مهم سازنده این ریزرساره است که به همراه قطعات اکینودرم و فرامینیفرهای کفسی بیشتر میکریتی شده (عمدتاً تکستولاریا، میلولید، دخانیا و سدوساکلامینا)، استرما توپورویید، دوکفه‌ای، جلبک سبز و مقادیری اجزای غیراسکلتی همچون اینتراکلاست و آئید (مجموعاً با فراوانی ۲۵ درصد) دیده می‌شود (شکل ۳، تصویرH). این ریزرساره را می‌توان برابر RMF26 فلوگل (۲۰۱۰) در نظر گرفت که به واسطه بیوکلاستی بودن و چیرگی اجزای اسکلتی وابسته به دریایی باز ماند اکینودرم، به پیرامون پشتنه به ویژه بخش رو به دریایی آن تعلق دارد (فلوگل، ۲۰۱۰). در بخش‌های رو به کولاب پشتلهای کربناته نیز می‌توان ریزرساره گرینستون پلوییدی بیوکلاستی را دید با این تفاوت که عمدتاً اجزای اسکلتی کولابی و از نوع خرده‌های استروماتوپورویید است.

(Peloid ooid grainstone)- MF9 - گرینستون آئیدی پلوییدی

آئیدهای هم کانون دارای سیمان هم‌ستبر در اندازه ۵/۰ تا ۱/۵ میلی‌متر جزء مهم سازنده این ریزرساره هستند (فراوانی ۳۰ تا ۳۵ درصد) که بیشتر از نوع منفرد بوده اما نوع مرکب نیز در آن‌ها دیده می‌شود. پلوییدها با فراوانی ۱۵ تا ۲۰ از دیگر اجزای مهم این ریزرساره می‌باشند که به همراه مقادیر بسیار کم اینتراکلاست، فرامینیفرهای کفسی (عمدتاً سدوساکلامینا و تکستولاریا) و اکینودرم، دیگر آلومکم‌های این ریزرساره را تشکیل می‌دهند (شکل ۳، تصویرI). این ریزرساره برابر RMF29 فلوگل (۲۰۱۰) است. زمینه اسپاریتی و فراوانی آئیدها بیانگر نهشت این ریزرساره در انرژی

⁶ Mid ramp

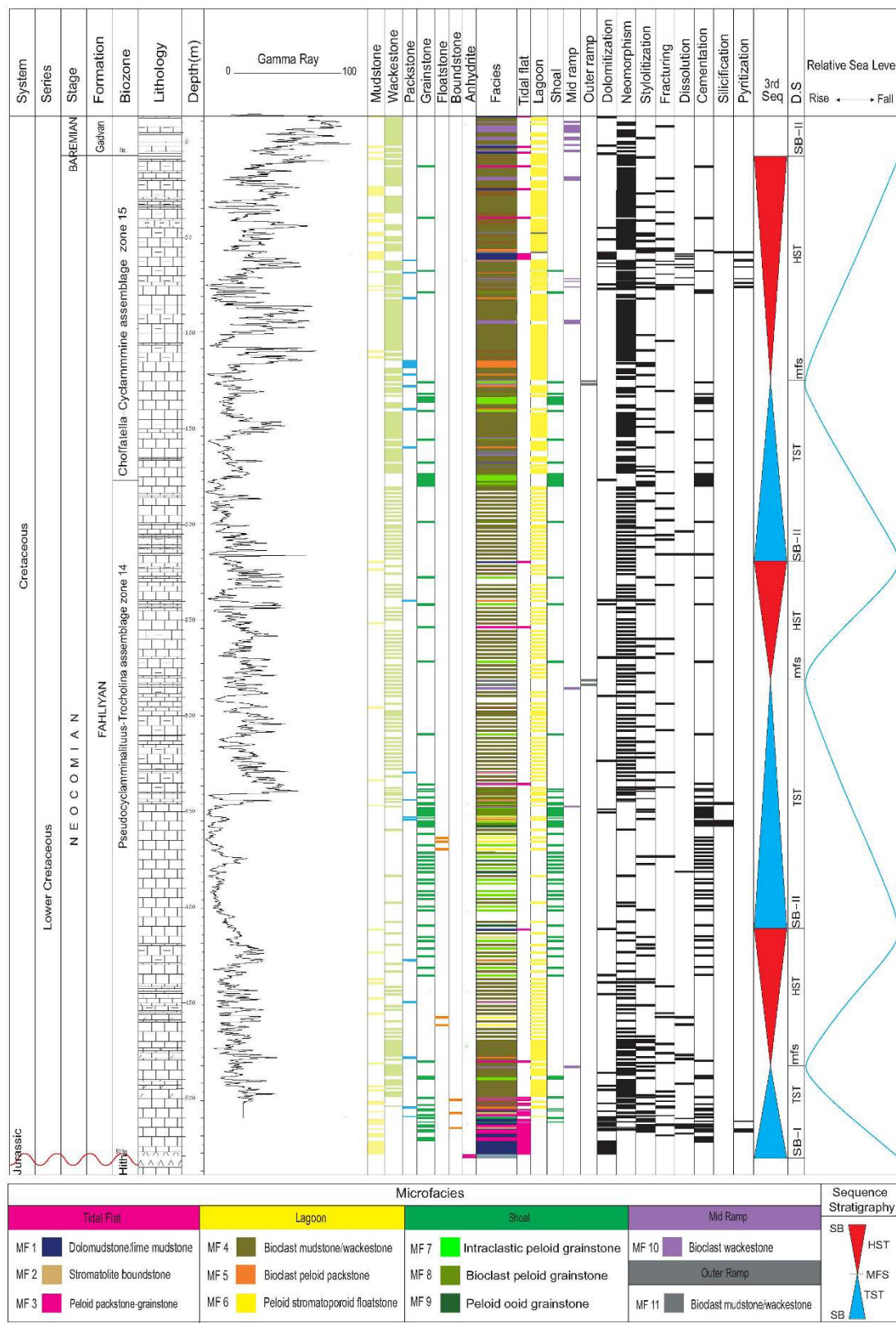
⁷ Outer ramp



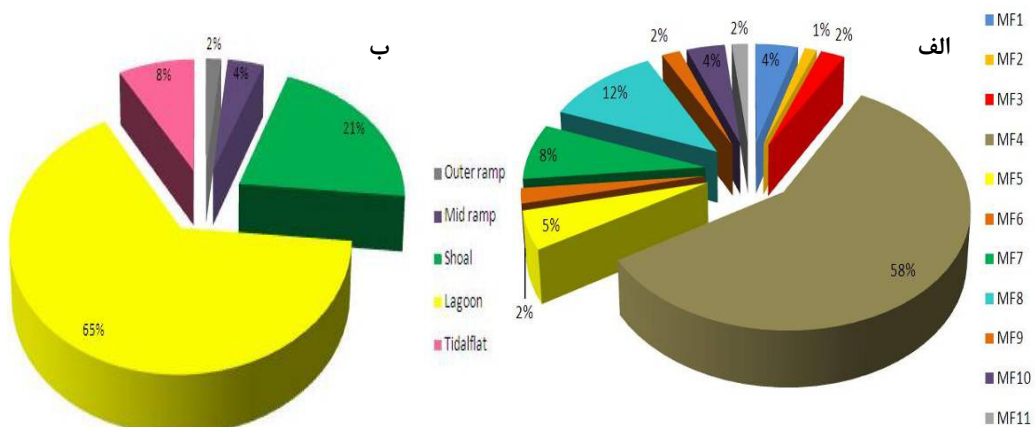
شکل ۳. (A) ریزرخساره گل‌سنگ آهکی/دولومیتی؛ (B) ریزرخساره باندستون استرما تولیتی دارای ترک گلی پرشده با کلسیت اسپاری؛ (C) ریزرخساره پکستون-گرینستون-پلوبیدی؛ (D) ریزرخساره پکستون/وکستون بیوکلاستی؛ (E) ریزرخساره مادستون/وکستون بیوکلاستی؛ انحلال و تخلخل قالبی ایجاد شده عمدها با سیمان پر شده؛ (F) ریزرخساره پکستون پلوبیدی بیوکلاستی؛ (G) ریزرخساره فلوتستون استرما تپوروبییدی پلوبیدی؛ (H) ریزرخساره گرینستون آلبیدی پلوبیدی؛ سیمان گرینستون پلوبیدی اینترکلاستدار؛ (I) ریزرخساره گرینستون بیوکلاستی؛ (J) ریزرخساره گرینستون بیوکلاستی پلوبیدی؛ سیمان هم‌ستبرای (پیکان سرخ) و هم‌بعد میان‌دانه‌ای (پیکان سبز)؛ (K) وکستون بیوکلاستی.

آن، کمربند رخساره‌ای پشته کربناته قرار می‌گیرد (۲۱٪). جایگاه بعدی وابسته به کمربندهای رخساره‌ای پهنه کشنده (۸٪) و رمپ میانی (۴٪) بوده و در پایان، کمربند رخساره‌ای رمپ بیرونی با کمترین فراوانی (۲٪) قرار می‌گیرد.

پس از شناسایی ریزرخساره‌های رسوبی در چاه B میدان کیلور کریم (شکل ۴)، گسترش هر یک از ریزرخساره‌ها و کمربندهای رخساره‌ای در چاه مورد بررسی، برای شناسایی جایگاه آن‌ها در محیط رسوبی، پیاده شد (شکل ۵) که بر این پایه، بیشترین فراوانی رخساره‌ای مربوط به کمربند رخساره‌ای کولاب (۶۵٪) بوده و پس از



شکل ۴. ستون چینهای، فرآیندهای دیاژنزی و سکانس‌های رسوبی سازند فهليان در چاه B میدان کيلوركريم



شکل ۵. (الف) فراوانی رخسارهای برسی شده. (ب) فراوانی کمربندهای رخسارهای برسی شده

فراوانی) با زیرمحیط رمپ درونی و بهویژه کولاب بوده است و می‌توان دریافت که این ناحیه در زمان نهشت سازند فهلیان، بخش‌های کم‌زرفا و حاشیه‌ای حوضه رسوی زاگرس را تشکیل می‌داده است.

۵- دیاژنز

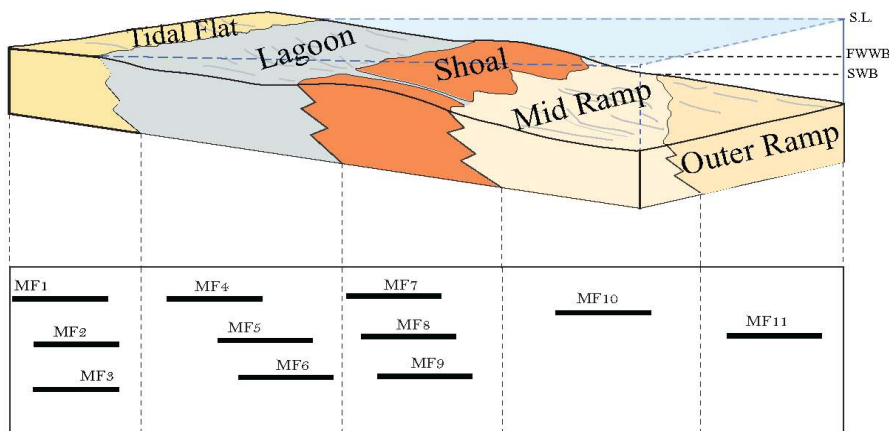
کربنات‌ها از نظر کانی‌شناختی ناپایدار بوده و می‌توانند زیر تأثیر فرآیندهای دیاژنزی پس از رسوب‌گذاری قرار گیرند (تاکر، ۱۹۹۱) و تاریخچه دیاژنزی رسوبات کربناته وابسته به نوسانات تراز آب دریا است (سارگ، ۱۹۸۸؛ امری و میرس، ۱۹۹۶). فرآیندهای عمدۀ دیاژنزی سازند فهلیان در میدان کیلورکریم به شرح زیر است:

۱-۵- میکریتی‌شدن

از فرآیندهای دیاژنزی رایج در سازند فهلیان، میکریتی‌شدن آلوکم‌ها و بهویژه دانه‌های اسکلتی است که بیشتر در ریزرخساره‌های وابسته به کولاب و بخش‌های آغازین پسته کربناته دیده می‌شود. این فرآیند در محیط فریاتیک دریایی انجام می‌گیرد و بیشتر به شکل پوشش‌های سبز و اکینودرم‌ها دیده می‌شود (شکل ۷، تصویر A). میکریتی‌شدن در برخی از رخسارهای مربوط به محیط کولاب به صورت کامل انجام گرفته و سرانجام یک دانه کاملاً میکریتی‌شده تولید کرده است.

۴- محیط رسوی سازند فهلیان

در بازه ژوراسیک پسین شرایط اقلیمی گرم و خشک بر حاشیه ناپویای صفحه عربی حاکم بوده و رسوب‌گذاری ایندریت به صورت گستردۀ در حوضه رسوی انجام گرفته است (موریس، ۱۹۸۰؛ زیگلر، ۲۰۰۱). پس از آن در طول کرتاسه پایینی با جایگزینشدن اقلیم مرطوب، نهشت تبخیری‌ها متوقف گردیده (زیگلر، ۲۰۰۱) و رسوبات بر روی سکوی کربناته از نوع رمپ نهشته شده‌اند (موریس، ۱۹۸۰). با توجه به ریزرخساره‌ها و کمربندهای رخساره‌ای شناخته‌شده و تغییرات آن‌ها در توالی بررسی شده (شکل ۴) و مقایسه با ریزرخساره‌های استاندارد (ویلسون، ۱۹۷۵ و فلوگل، ۲۰۱۰) می‌توان پیشنهاد کرد که سازند فهلیان در میدان کیلورکریم در یک رمپ کربناته هم‌شیب نهشته گردیده است. بررسی‌های پیشین انجام گرفته در دیگر مناطق بر روی سازند فهلیان نیز نشان‌دهنده نهشت این سازند در محیط رمپ کربناته بوده است (پیرایی و همکاران، ۱۳۸۳؛ ون بوخم و همکاران، ۲۰۰۶؛ کاووسی و همکاران، ۱۳۸۸؛ جمالیان و همکاران، ۲۰۱۱؛ صحراییان و همکاران، ۲۰۱۳؛ حسینی و همکاران، ۲۰۱۳). نبود رسوبات توربیدیاتی و رخساره‌های ریف‌های سدی وجود تغییرات تدریجی در رخساره‌ها، نشان‌گر هم‌شیب بودن رمپ کربناته بوده که زیرمحیط‌های رمپ درونی، رمپ میانی و رمپ بیرونی را در بر می‌گرفته است. شکل ۶ طرح ساده‌ای از محیط نهشت توالی سازند فهلیان و پراکنش ریزرخساره‌های مطالعه شده را نشان می‌دهد. در زمان رسوب‌گذاری سازند فهلیان (نئوکومین)، برتری رخساره‌ای (از دید



شکل ۶. مدل رسوبی سازند فهلیان در چاه مطالعه شده و جایگاه تقریبی ریزرساره‌ها در نیمیرخ رسوبی

است. دفن بیشتر تا ژرفای چند هزار متری سبب ایجاد عوارض ناشی از انحلال فشاری مانند تماس‌های میان‌دانه‌ای از نوع مضرسی (شکل ۷، تصویر E)، رگچه‌های انحلالی و سپس استیلولیت در رخساره‌های مختلف می‌گردد. در سازند فهلیان، استیلولیت‌ها با سطوح مضرس با دامنه تضاریس کوتاه تا بلند در بیش‌تر ریزرساره‌ها بهویژه در ریزرساره‌های گلپشتیبان گسترش داشته‌اند. استیلولیت در این سازند بیشتر همراهی نزدیکی با دولومیت‌های دفنی، پیریت، سیلیس و آغشتنگی‌های هیدروکربنی داشته و تمرکز مواد نامحلول در مسیر آن‌ها دیده می‌شود (شکل ۷، تصویر F و G).

۴-۵- سیمانی‌شدن

پنج نوع سیمان در سازند فهلیان در میدان کیلور کریم شناسایی شد: سیمان حاشیه‌ای هم‌ستبرا که در محیط‌های دیاژنزی آغازین ساخته شده (فلوگل، ۲۰۱۰) و در پیرامون آلوکمه‌ها و تقریباً در بیش‌تر ریزرساره‌های گرینستونی واپسته به زیرمحیط پشته کربناته در نهشته‌های فهلیان دیده می‌شود (شکل ۳، تصویر A). سیمان کلسیتی هم‌بعد از سیمان‌های اصلی پرکننده بخش‌های متخلخل در سنگ‌های کربناته هستند که در محیط‌های جوی نزدیک سطح یا در محیط دفنی رسوب می‌کنند (فلوگل، ۲۰۱۰). در سازند فهلیان، این سیمان در ریزرساره‌های گرینستونی بهصورت پرکننده تخلخل اولیه بهویژه تخلخل‌های میان‌دانه‌ای (شکل ۳، تصویر A) و در شکستگی‌های گسترش یافته در این سازند نیز دیده می‌شود. این سیمان هم‌چنین بهصورت پرکننده حفرات

۵-۲- نوریختی

در توالی مورد مطالعه، این فرآیند به صورت کلسیتی‌شدن بیوکلاست‌های آراغونیتی (احمد و همکاران، ۲۰۰۶) و تبدیل کلسیت‌های ریزبلور به درشت بلور (فلوگل، ۲۰۱۰) دیده می‌شود. در نوع اول که تبدیل آراغونیت به کلسیت (نوریختی پلی‌مورفیک) است و از جمله عوارض دیاژنزی رایج در بیش‌تر رخساره‌های سازند فهلیان بهویژه ریزرساره‌های وکستونی واپسته به کولاپ که دانه‌های اسکلتی آراغونیتی (جلبک سبز، تروکولینا، گاستروپود و دوکفه‌ای) در آن‌ها گسترش بیش‌تری داشته، می‌باشد. در این حالت، بیوکلاست‌های نوشکل‌یافته، فابریک انتخابی نشان داده و در آن‌ها بلورهای سیمان، تنها در درون پوسته اسکلتی ساخته شده و زمینه بدون تغییر باقی مانده است (شکل ۳، تصویر D). در نوریختی افزایشی، میکریت زمینه در اثر بلور دوباره و رشد بلورها به میکرواسپاریت تبدیل شده است (شکل ۷، تصویر C). نوریختی افزایشی و تبدیل آراغونیت به کلسیت در محیط‌های فریاتیک، وادوز و دفعی رخ می‌دهد (فلوگل، ۲۰۱۰).

۵-۳- فشردگی مکانیکی و شیمیایی

نشانه‌های مربوط به فشردگی مکانیکی، شامل شکستگی و تغییر شکل بیوکلاست‌ها (شکل ۷، تصویر D) و ایجاد همبrij کاو - کوژ (شکل ۷، تصویر E) در فابریک‌های دانه‌پشتیبان در توالی مطالعه‌شده سازند فهلیان دیده می‌شود. دفن رسوبات تا ژرفای چند صدمتری موجب ایجاد فابریک‌های فشرده‌تر از فابریک‌های اولیه در رسوبات شده و ویژگی یادشده را در آن‌ها ایجاد نموده

که در مقایسه با دولومیت‌های دفنی از فراوانی بسیار کمتری برخوردارند (شکل ۷، تصویرL). این دولومیت‌ها در طی فرآیندهای دیاژنری اولیه (ائوژنر) گل‌های آهکی در پنهان فراکشنده تشكیل گردیده‌اند. عموماً آب دریا و یا آبهای فروروی سرشار از منیزیم به عنوان عامل دولومیت‌شدن رخساره‌های فراکشنده معرفی می‌گردد (خلیفه، ۲۰۰۵؛ آدابی، ۲۰۰۹). بخش دیگر دولومیت‌های سازند فهليان دارای ارتباط مشخصی با استيلولیت‌ها (دولومیت‌های دفنی) بوده‌اند که در بیش‌تر ریزخساره‌ها به‌ویژه ریزخساره‌های گلپشتیبان گسترش یافته‌اند (شکل ۷، تصویرF). استيلولیت‌ها می‌توانند به صورت مجرایی برای عبور سیالات دولومیت‌ساز در مرحله تدفین عمل کنند (آدابی، ۲۰۰۹؛ شاکری و پرهام، ۲۰۱۳).

دولومیت‌های گسترش یافته در مسیر این عوارض، بیش‌تر دانه متوسط و نیمه‌شکل‌دار تا شکل‌دار هستند. بخش عمده‌ای از دولومیت‌های دیده شده در سازند فهليان، دولومیت‌های زین‌اسپی است که به واسطه بلورهای بسیار درشت، سطوح بلوری منحنی، خاموشی موجی و میانبارهای سیال مشخص می‌شوند (تاکر، ۲۰۰۱) (شکل ۷، تصویرH, K و L). این نوع ویژه از دولومیت تدفینی به صورت پرکننده فضاهای خالی (شکل ۷، تصویرL و H) نمایان شده است. این نوع دولومیت‌ها عمدتاً در محدوده دماهی ۶۰ تا ۱۵۰ درجه تشکیل می‌شوند (وارن، ۲۰۰۰). به علت نبود داده‌های ژئوشیمیایی و مطالعات میانبار سیال و کاتدولومینسانس برای نهشته‌های سازند فهليان، امكان شناسایی دقیق خاستگاه منیزیم در دولومیت‌های یادشده وجود نداشته که امید است با انجام دقیق این گونه مطالعات، زمینه واکاوی فرآیندهای پس از رسوب‌گذاری سازند فهليان فراهم شود.

۷-۵-شکستگی

در توالی مطالعه‌شده، شکستگی‌ها دارای نظم خاصی نبوده، و به صورت منفرد یا گروهی، در بیش‌تر ریزخساره‌ها به‌ویژه در ریزخساره‌های گلپشتیبان گسترش یافته‌اند. این عوارض در مراحل دیاژنر دفنی شکل گرفته، بیش‌تر به همراه استيلولیت‌ها دیده شده (شکل ۷، تصویرM) و عمدتاً توسط سیمان پر شده‌اند. از این رو نقش چندانی در افزایش کیفیت مخزنی این سازند نداشته‌اند.

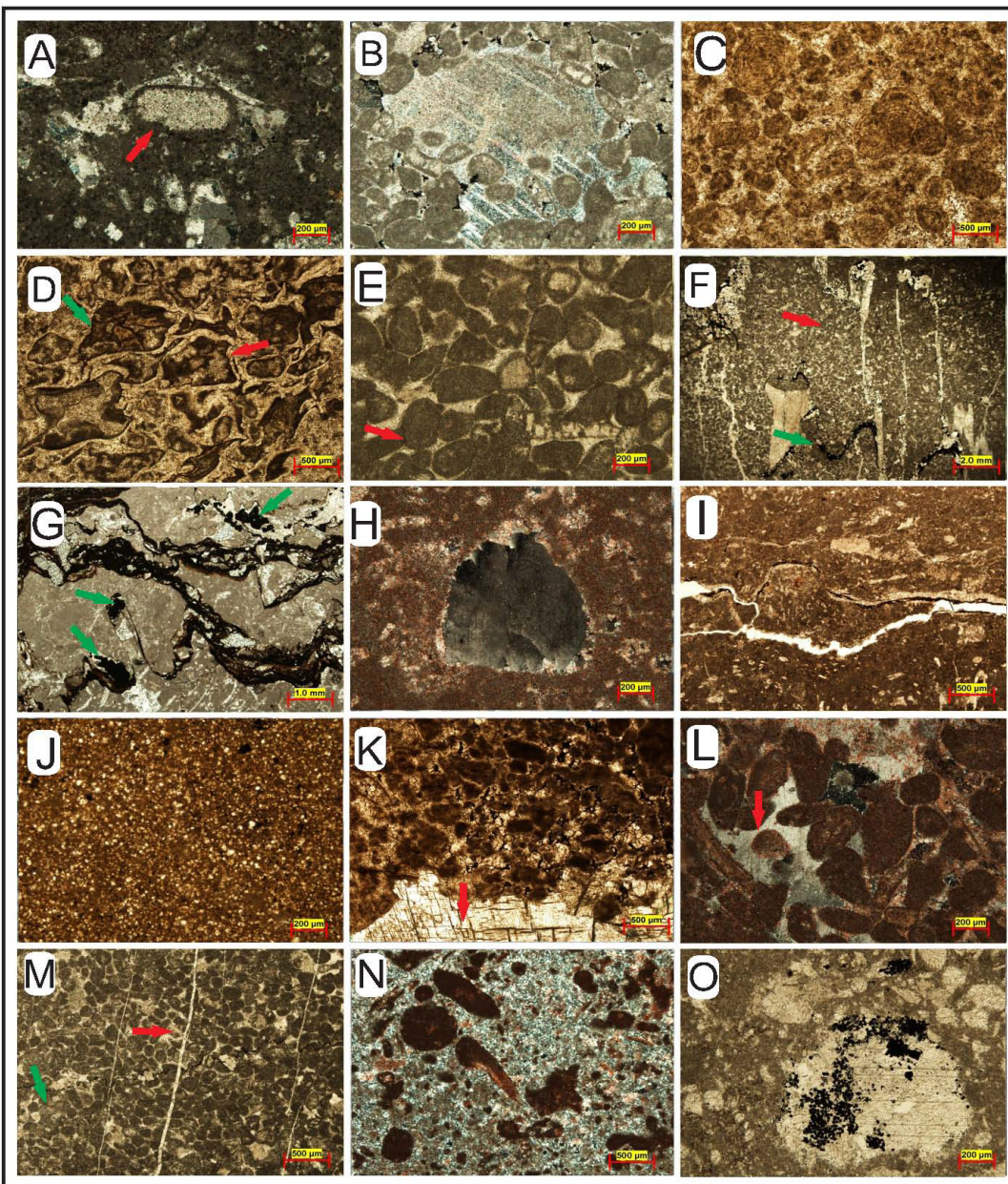
در قالب‌های حل شده بیوکلاست‌های دارای ترکیب کانی‌شناختی ناپایدار، به‌ویژه در ریزخساره مادستون/وكستون بیوکلاستی کولاب (ریزخساره ۴) و به مقدار کمتر در ریزخساره‌های وابسته به رمپ میانی (ریزخساره ۱۰) نیز یافت می‌شود (شکل ۳، تصویرD). سیمان رورشی هم‌محور (شکل ۷، تصویرB) در ریزخساره‌های پشته کربناته پیرامون بیشتر دانه‌های اکینو درم گسترش یافته است. گسترش سیمان هم‌محور بر روی این قطعات کلسیتی تکبلورین، گاه دانه‌های مجاور را در بر گرفته و سیمان فراغیر که مشخصه محیط دیاژنر تدفینی است (فلوگل، ۲۰۱۰) را پیدید آورده است (شکل ۷، تصویرB).

۵-۵-انحلال

انحلال در توالی‌های رسوبی سبب ایجاد و گسترش تخلخل‌های ثانویه می‌گردد (تاکر، ۲۰۰۱). با توجه به اینکه بالاترین درصد آلوکم‌های سازند فهليان را دانه‌های اسکلتی آراغونیتی می‌سازد، تخلخل‌های قالبی از فراوان‌ترین تخلخل‌های این سازند به شمار می‌آیند که در بیش‌تر ریزخساره‌ها به‌ویژه ریزخساره‌های مادستون/وكستونی کولاب گسترش یافته‌اند (شکل ۳، تصویرD) اما بر پایه شواهد سنگنگاری، این تخلخل‌ها گاهی دولومیتی (شکل ۷، تصویرH) پر شده‌اند. از دیگر انواع تخلخل‌های ثانویه در سازند فهليان می‌توان به تخلخل‌های حفره‌ای و کانالی اشاره کرد که به گروه غیروابسته به فابریک تعلق دارند (چوکت و پر، ۱۹۷۰). تخلخل حفره‌ای و کانالی در این سازند بیش‌تر در همراهی با استيلولیت‌ها و دولومیت‌های وابسته با آن‌ها دیده می‌شود (شکل ۷، تصویرI) و نشان‌دهنده انحلال در مرحله تدفین ژرف است. لازم به یادآوری است که این تخلخل‌ها نیز عموماً با سیمان پر شده‌اند.

۶-۵-دولومیتی‌شدن

بر پایه بررسی‌های سنگنگاری، دولومیتی‌شدن در رخساره‌های سازند فهليان، با گسترش محدود، به دو صورت اولیه و ثانویه رخ داده است. بلورهای دولومیت بسیار ریز بلور در اندازه ۵ تا ۱۶ میکرون، بی‌شکل تا نیمه‌شکل‌دار و همانند از جمله عوارض دیاژنری هستند



شکل ۷. A) میکریتی شدن؛ B) سیمانی شدن هم محور و فراگیر؛ C) نوریختی افزایشی در آبیدها و خمیره؛ D) تغییر شکل بیوکلاستها (پیکان سرخ) و شکستگی سیمان هم ستبرای پیرامون دانه‌ها (پیکان سبز)؛ E) انواع همبrijهای کاو-کوز و مفسرس؛ F) استیلولیتی شدن و دولومیتی شدن همراه آن؛ G) استیلولیتی شدن و پیریت (پیکان سبز) و آغشتنگی‌های هیدروکربنی در سطوح آن؛ H) دولومیت زین اسبی به صورت پرکننده حفره (رنگ آمیزی با آلیزارین سرخ)؛ I) تخلخل در راستای استیلولیت؛ J) دولومیت درشت‌بلور زین اسبی (در واکنش با آلیزارین سرخ، رنگ نگرفته است)؛ L) دولومیت زین اسبی به صورت پرکننده تخلخل‌های میان‌دانه‌ای (رنگ آمیزی با آلیزارین سرخ)؛ M) شکستگی‌های (پیکان سرخ) قطع‌کننده سطح استیلولیت (پیکان سبز)؛ N) سیلیسی شدن؛ O) پیریتی شدن به صورت جانشینی اسکلت اکینودرم

میان دانه‌ها و حفرات حاصل از انحلال دیده می‌شود (شکل ۷، تصویر N) که در شرایط تدفینی همراه با استیلولیت‌ها و دولومیت‌های زین اسبی ایجاد شده‌اند. منبع احتمالی سیلیس می‌تواند سیلیس آزادشده از

۸-۵- سیلیسی شدن
سیلیسی شدن به مقدار ناچیز در ریزرساره‌های گرینستون پلوییدی اینترکلاستدار و پکستون پلوییدی بیوکلاستی سازند فهلیان به گونه جانشینی در فضای

تصویر ۰) و در راستای سطوح استیلولیت (شکل ۷، تصویر ۵) دیده می‌شود. از آنجایی که پیریتی شدن در این سازند بیشتر همراه با استیلولیت‌ها و رگچه‌های انحلالی دیده می‌شود (شکل ۹)، می‌توان چنین استنباط کرد که پیریت حاصل فرآیند دیاژنر تأخیری و دیاژنر تدفینی است.

در شکل ۸، توالی پاراژنزی فرآیندهای دیاژنری سازند فهليان در منطقه مورد بررسی نشان داده شده است. هم‌چنین در شکل ۴ ستون چینه‌ای، سکانس‌های رسوبی و گسترش فرآیندهای دیاژنری در بخش‌های گوناگون سازند فهليان نشان داده شده است.

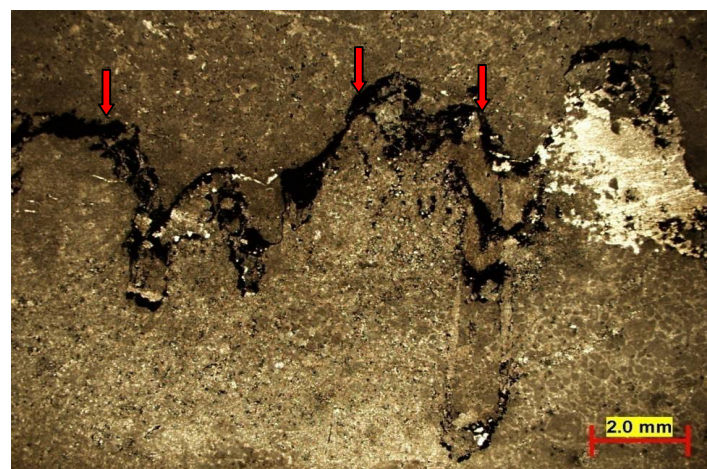
انحلال سوزن‌های سیلیسی اسفنج‌ها، که به طور پراکنده در رخسارهای سازند فهليان حضور دارند، بوده باشد. تأثیر سیلیسی شدن بر کیفیت مخزنی فهليان با توجه به ناچیز بودن آن قابل چشم‌پوشی است.

۹-۵- پیریتی شدن

پیریت که کانی در جازای شاخص گل‌های دریایی سرشار از مواد آلی است، در شرایط کاهش (احیا) تشکیل می‌شود (تاکر، ۲۰۰۱). این پدیده به صورت بلورها و انباشت پیریتی در افق‌های محدودی از سازند فهليان به صورت جانشینی در اسکلت بیوکلاست‌ها (شکل ۷).

تعریف	متغیریک	دریایی	فرآیندهای دیاژنری
		—	میکریتی شدن
		—	دولومیتی شدن اولیه
		—	سیمان حاشیه‌ای هم‌ضخامت
	—		سیمان هم‌بعد
	—		سیمان رورشادی هم‌محور
	—		سیمان فراگیر
			فسردگی فیزیکی
			فسردگی شیمیایی و استیلولیت
			انحلال
			دولومیتی شدن دفنی
	—		نوشکلی
			شکستگی و پرشدگی
			سیلیسی شدن
		—	پیریتی شدن

شکل ۸. توالی پاراژنزی فرآیندهای دیاژنری شناسایی شده در سازند فهليان



شکل ۹. تصویر میکروسکوپی از پیریتی شدن در سطوح استیلولیت (پیکان‌ها)

غرقابی (mfs) و در نهایت به رخساره‌های کمژرفاشونده (HST) می‌رسند. سکانس‌های رسوبی سازند فهليان از پایین به بالا به شرح زیر است:

۱-۷- سکانس رسوبی اول

این سکانس رسوبی با ستبرایی نزدیک ۱۱۸ متر، دارای مرز زیرین ناگهانی با تغییر سنگشناسی از انیدریت‌های سازند هیث به سنگ‌آهک‌های سازند فهليان است. به سبب بودن گونه‌های زیستی *Tintinopsella longa* و *Valdanchella millani* (شکیب، ۱۹۹۴؛ حسینی و کنراد، ۲۰۰۸) سن بریازین برای این سکانس رسوبی ارایه شده است. مرز سکانسی نوع اول (SB-I) بر پایه حضور نهشت‌های تبخیری، که شاخص پایین افتادن سطح آب دریا و رخمنون زیر جوی به شمار می‌روند، در قاعده این سکانس رسوبی شناسایی شده است (سارگ، ۲۰۰۱). دسته رسوبی پیشرونده (TST) با ۴۷ متر ستبرای دارای روندی افزایشی در مقادیر لاغ گاماست و به ترتیب با ریزرساره‌های پهنه میان‌کشندي (ریزرساره‌های باندستون استراتماتولوگی و پکستون-گرینستون پلوییدی)، ریزرساره‌های کولاپی با برتری ریزرساره مادستون/وکستون بیوکلاستی و ریزرساره‌های پشت‌کربناته با برتری ریزرساره گرینستون پلوییدی اینتراکلاست‌دار قابل تشخیص است. این دسته رسوبی در سطح بیشینه غرقابی (mfs)، با پیدایش ریزرساره وکستون بیوکلاستی رمپ میانی پایان می‌یابد. لاغ گاما نیز در این سطح بیشینه غرقابی، بیشینه مقدار خود را نشان می‌دهد. دسته رسوبی تراز بالا (HST) با ستبرایی حدود ۲۱ متر در ابتدا با نهشت ریزرساره‌های کولاپی آغاز شده و سپس با رسوب‌گذاری متناوب ریزرساره‌های پشت‌کربناته و کولاپی ادامه می‌یابد که در نهایت با روندی کمژرف‌شونده، به ترتیب با پیدایش ریزرساره‌های گرینستون پلوییدی اینتراکلاست‌دار (وابسته با پشت‌کربناته) و وکستون بیوکلاستی (وابسته با کولاپ)، در نهایت با گسترش مادستون‌های آهکی/دولومیتی پهنه کشندي پایان می‌یابد و مرز سکانسی نوع دوم (SB-II) به شمار می‌رود (شکل ۴). سطح بیشینه غرقابی شناسایی شده در این سکانس رسوبی با سطح بیشینه غرقابی K20 معرفی شده توسط شارلن و همکاران (۲۰۰۱) همزمان و هماز است.

۶- نگاهی به کیفیت مخزنی

در برش مطالعه شده از سازند فهليان، کیفیت مخزنی تا اندازه زیادی وابسته به الگوی توزیع رخساره‌ها و بافت رسوبی بوده است. در این توالی به طور کلی رخساره‌های پرانژی دانه‌پشتیبان به نسبت رخساره‌های کم‌انژی گل‌پشتیبان از فراوانی کمتری برخوردارند. رخساره‌های دانه‌پشتیبان دارای تخلخل میان‌دانه‌ای و درون‌دانه‌ای مناسب نیز در مراحل بعدی بیشتر با سیمان پر شده و کیفیت مخزنی آن‌ها کاهش یافته است. پدیده دولومیتی‌شدن، که گاه می‌تواند موجب بهبود کیفیت مخزنی گردد، در سازند یادشده، بیشتر به صورت بلورهای ریز و پراکنده دولومیت نمایان شده و تاثیر چندانی بر کیفیت مخزنی نداشته است. هم‌چنین، پدیده شکستگی که با ایجاد فضاهای خالی و برقراری ارتباط میان آن‌ها، تخلخل و تراوایی را افزایش داده و سبب بالا رفتن کیفیت مخزنی می‌شود، از آنجایی که بیشتر شکستگی‌های گسترش‌یافته در این سازند توسط سیمان پر شده‌اند، نقشی در افزایش کیفیت مخزنی نداشته است. بنابراین با توجه به عدم گسترش فرآیندهای دیاپنزی افزایش‌دهنده کیفیت مخزنی و نیز حجم بالای گل‌آهکی متأثر از محیط رسوبی، کیفیت مخزنی سازند فهليان در چاه B میدان کیلور کریم پایین بوده است.

۷- چینه‌نگاری سکانسی

در برش زیرسطحی مطالعه شده، به علت نبود داده‌های دقیق زیست‌چینه‌ای و سنجی استرانسیم، امکان محاسبه دقیق نرخ رسوب‌گذاری، بازه زمانی وقفه‌های رسوب‌گذاری و نبودهای رسوبی وجود نداشته و بدین سبب، روش تعیین سن به کار رفته در این برش، مبتنی بر زون‌بندی زیستی ارائه شده توسط جیمز و وايند (۱۹۶۵) است. در پژوهش کنونی، پس از بررسی دقیق رسوب‌شناختی و رخساره‌ای و با در نظر داشتن روش‌های گوناگون استفاده شده در بررسی‌های چینه‌نگاری سکانسی، از مدل سکانس رسوبی ارائه شده توسط هانت و تاکر (۱۹۹۲) استفاده شد. بر این پایه، در مجموعه نهشت‌های سازند فهليان در چاه B میدان کیلور کریم، سه سکانس‌های رسوبی رد سوم شناسایی گردید که این سکانس‌های رسوبی با رخساره‌های ژرف‌شونده به سمت بالا (TST) آغاز شده و در ادامه به سطوح انتقالی بیشینه

سکانسی نوع دوم (بدون شواهد خروج از آب) محدود شده است. مرز سکانسی زیرین آن با وجود ریزخسارهای مادستون‌های آهکی/دولومیتی پهنه کشندی رأس سکانسی رسوبی پیشین شناخته می‌شود. دسته رسوبی پیشرونده ستبرای در حدود ۹۷ متر داشته و با ریزخساره وکستون بیوکلاستی سرشار از جلک و فرامینیفر کفزی (نهشته شده در کولاب) (RMF20) آغاز شده و در ادامه با روندی ژرف شونده، به ترتیب، به ریزخسارهای پکستون پلوییدی بیوکلاستی (وابسته با کولاب)، گرینستون پلوییدی بیوکلاستی، گرینستون پلوییدی اینتراکلاستدار (وابسته به پشتلهای کربناته)، وکستون بیوکلاستی (مرپوط به رمپ میانی) و در نهایت به وکستون‌های دارای سوزن اسفنج (شاخص رمپ بیرونی) (RMF3) تحول می‌یابد. سطح گسترش ریزخساره اخیر نشانگر سطح بیشینه غرقابی سکانس رسوبی سوم است که لاغ گاما نیز در این سطح، افزایش نشان می‌دهد. دسته رسوبی تراز بالا با ستبرای نزدیک ۱۱۶ متر از ریزخسارهای پشتلهای (گرینستون پلوییدی بیوکلاستی و گرینستون پلوییدی اینتراکلاستدار)، کولابی (پکستون پلوییدی بیوکلاستی و مادستون/وکستون بیوکلاستی) ساخته شده است. سطح چینهای رأس این دسته رسوبی و عملأً مرز سکانسی رأس توالی مطالعه شده با پیدایش مادستون‌های آهکی/دولومیتی پهنه کشندی شناخته می‌شود (شکل ۴). سطح بیشینه غرقابی شناسایی شده در این سکانس رسوبی با سطح بیشینه غرقابی K40 معرفی شده توسط شارلند و همکاران (۲۰۱۱) همزمان و هم‌ارز است.

۷- نتیجه‌گیری

با هدف بررسی ریزخسارهای محیط رسوبی، فرآیندهای دیاژنزی و چینه‌گاری سکانسی سازند فهليان در چاه B میدان نفتی کيلور كرييم، برش‌های نازک ميكروسكوبی و تغييرات نمودار گاما در طول ستون چينهای سازند به دقت مورد بررسی قرار گرفت. در نتیجه مشخص شد که نهشته‌های سازند فهليان در یک رمپ کربناته هم‌شیب راسب شده‌اند. بررسی پراکنش رخساره‌ها در این رمپ کربناته نشان داد که بيشترین فراوانی رخساره‌ای مربوط به کمربند رخساره‌ای کولاب (۶۵ درصد) بوده و پس از آن، کمربند رخساره‌ای پشتله کربناته (با فراوانی ۲۱

۲-۷- سکانس رسوبی دوم

این سکانس رسوبی با سن بريازين پايانی - والانزين - آغازين (بر پايه پيدايش گونه Trocholina elongata معرفی توسط حسیني و كنراد، ۲۰۰۸؛ عبياته و همکاران، ۲۰۱۲) و ستبراي حدود ۱۹۲ متر، در قاعده و رأس به مرز سکانسی نوع دوم (SB-II) منتهی می‌گردد و شواهد خروج از آب را نشان نمی‌دهد. مرز زيرين و بالايي اين سکانس رسوبی با پيدايش ریزخسارهای کربناته پهنه کشندی مشخص است. دسته رسوبی پیشرونده با ستبراي ۱۳۱ متر از تناب و ریزخسارهای کولاب (وکستون بیوکلاستی)، پشتلهای کربناته (گرینستون پلوییدی بیوکلاستی)، گرینستون پلوییدی اینتراکلاستدار و گرینستون آليدي پلوبيدي) و وکستون بيوکلاستي رمپ ميانی تشکيل شده که با روندی ژرف‌شونده به ریزخساره وکستون بیوکلاستی (سوزن اسفنج دار) (RMF3) وابسته با زيرمحيط رمپ بيرونی در سطح بيشينه غرقابی ختم می‌شود. دسته رسوبی تراز بالا با ستبراي ۶۱ متر با پيدايش ریزخساره گرینستون پلوییدی بیوکلاستي بر روی سطح بيشينه غرقابي و افزایش سیار در مقادیر لاغ گاما آغاز شده و با ستبرای زيادي از رسوبات کولابي (عمدتاً وکستون بیوکلاستی) دنبال می‌شود. بخش بالايی دسته رسوبی تراز بالا با الگوي پسروند از ریزخسارهای گرینستون پلوییدی اینتراکلاستدار و گرینستون پلوبيدي بيوکلاستي (وابسته به پشتلهای کربناته) به ریزخسارهای پکستون پلوبيدي بيوکلاستي و مادستون/وکستون بیوکلاستي (وابسته با کولاب) تحول می‌يابد. سکانس رسوبی دوم با پيدايش مادستون‌های آهکی/دولومیتی پهنه کشندی پايان می‌يابد که مرز سکانسی نوع دوم می‌باشد (شکل ۴). سطح بيشينه غرقابي شناسایي شده در اين سکانس رسوبی با سطح بيشينه غرقابي K30 معرفی شده توسط شارلند و همکاران (۲۰۱۱) همزمان و برابر است.

۳-۷- سکانس رسوبی سوم

این سکانس رسوبی با سن والانزين - هوتروين (بر پايه شناسایي گونه‌های فرامینیفری Cladocoropsis mirabilis و Pseudocyclamina lituus معرفی توسط شکیب، ۱۹۹۴؛ حسیني و كنراد، ۲۰۰۸؛ عبياته، ۲۰۱۲) و با ستبراي حدود ۲۱۳ متر ميان دو مرز

- بالایی) در باختر و خاور گسل کازرون (تاقدیس‌های شوروم، دودرو، هفت‌چشمه، مختار، کوزه کوه و فهلیان)، گزارش داخلی شرکت ملی نفت ایران، شماره ۱۲۷، ۲۲۲۳ ص.
- مطیعی، ه (۱۳۷۲) زمین‌شناسی ایران، چینه‌شناسی زاگرس، انتشارات سازمان زمین‌شناسی کشور، ۵۸۳ ص.
- مقصودی، م، شرکتی، ش (۱۳۸۰) نقشه راهنمای ساختاری زاگرس، گزارش داخلی شرکت ملی نفت ایران، منتشر شده.
- Bacelle, L., Bosellini, A (1965) Diagrammi per la stima visiva della composizione percentuale nelle rocce sedimentarie, *Scienze Geologiche Paleontologiche*, 1: 59-62.
- Bachmann, M., Hirsch, F (2006) Lower Cretaceous carbonate platform of the eastern Levant (Galilee and the Golan Heights): stratigraphy and second-order sea-level change, *Journal of Cretaceous Research*, 27: 487-512.
- Bathurst, R. G. C (1975) Carbonate Sediments and their Diagenesis, *Developments in Sedimentology* Abyat, A., Baghbani, D., Afghah, M., Kohansal Ghadimvand, N., Feghi, A (2012) Microbiostratigraphy and Lithostratigraphy of Fahliyan and Gadvan Formations in Kuh-e-Surme (Zagros Basin, Southwest Iran), *Journal of Advances in Environmental Biology*, 6(12): 3078-3086.
- Adabi, M. H (2009) Multistage dolomitization of upper Jurassic Mozduran formation, Kopet-Dagh Basin, N.E. Iran, *Journal of Carbonates and Evaporites*, 24: 16-32.
- Adabi, M. H., Salehi, M. A., Ghabeishavi, A (2010) Depositional environment, sequence stratigraphy and geochemistry of Lower Cretaceous carbonates (Fahliyan Formation), south-west Iran, *Journal of Asian Earth Sciences*, 39: 148–160.
- Adachi, N., Ezaki, Y., Liu, J (2004) The origins of peloids immediately after the end-Permian extinction, Guizhou Province, South China, *Journal of Sedimentary Geology*, 164: 161-178.
- Ahmad, A. H. M., Bhat, G. M., Haris Azim Khan, M (2006) Depositional environments and diagenesis of the Kuldhar and Keera dome carbonates (Late Bathonian-Early Callovian) of Western India, *Journal of Asian Earth Sciences*, 27: 765-778.
- , Amsterdam, 658 p.
- Boles, J. R., Franks, S. G (1979) Clay diagenesis in Wilcox sandstones of south west Texas: implications of smectite diagenesis on sandstone cementation, *Journal of Sedimentary Petrology*, 49: 55-70.
- Burchette, T. P., Wright, V. P (1992) Carbonate ramp depositional system. *Journal of Sedimentary Geology*, 79: 3-57.

درصد) قرار می‌گیرد. بنابراین در زمان رسوب‌گذاری سازند فهلیان (نئوکومین) برتری رخسارهای با زیرمحیط رمپ درونی و بهویژه کولاب بوده است و می‌توان دریافت که ناحیه بررسی شده در زمان نهشت سازند فهلیان، بخش‌های کمزیرفای و حاشیه‌ای حوضه رسوبی زاگرس را تشکیل می‌داده است. نهشته‌های کربناته سازند فهلیان در این برش زیرسطحی در سه محیط اصلی دیاژنزی دریابی، جوی و تدفینی متحمل فرآیندهای گوناگون دیاژنزی شده‌اند که عوارض آن به صورت میکریتی شدن، سیمانی شدن، استیلویلتی شدن، نوریختی، انحلال، دولومیتی شدن، پیریتی شدن و ایجاد شکستگی‌ها ثبت گردیده است. با توجه به عدم گسترش فرآیندهای دیاژنزی بهبودبخش کیفیت مخزنی و حجم بالای گل آهکی متأثر از محیط رسوبی، کیفیت مخزنی این سازند در ناحیه مطالعاتی پایین است. سه سکانس رسوبی رده سوم (با دسته‌های رسوبی پیشرونده و تراز بالا) در توالی سازند فهلیان شناسایی شد که مرز زیرین سکانس نخست، از نوع اول (SB-I) و در حد فاصل سازندهای هیث و فهلیان قرار دارد. سایر مرزهای سکانسی از نوع دوم (SB-II) هستند و شواهد خروج از آب را نشان نمی‌دهند. این سکانس‌های رسوبی با سکانس‌های معرفی شده برای دیگر نقاط خاورمیانه قابل مقایسه و انطباق هستند.

سپاسگزاری

از همکاری مدیریت اکتشاف شرکت ملی نفت ایران به ویژه اداره زمین‌شناسی و بخش مطالعات سطح‌الارضی برای در اختیار گذاشتن بُرش‌های نازک و از آقایان دکتر علیرضا پیریایی و دکتر امیرمحمد جمالی برای مشاوره‌های ارزنده‌شان صمیمانه سپاسگزاری می‌نماییم.

منابع

- پیریایی، ع.، فیضی، ا.، جمالی، ا. م (۱۳۸۳) چینه‌نگاری سکانسی نهشته‌های خامی بالایی (کرتاسه زیرین) در قسمتی از ناحیه دزفول جنوبی و جنوب‌شرق زون ایذه، گزارش داخلی شرکت ملی نفت ایران، شماره ۷۲، ۲۰۴۷ ص.
- کاوی، م. ع.، جمالی، ا. م، مبشری، ع.، نظریان، م (۱۳۸۸) چینه‌نگاری سکانسی نهشته‌های کرتاسه زیرین (خامی

- diagenetic system of Lower Cretaceous carbonates Fahliyan Formation (Kuh-e Siah area, Zagros Basin, South Iran), Journal of Carbonates and Evaporites, 30: 77–98.
- James, G. A., Wynd, J. G (1965) Stratigraphic nomenclature of Iranian oil consortium agreement area. AAPG, Bulletin, 49: 2182–2245.
- Khalifa, M. A (2005) Lithofacies, diagenesis and cyclicity of the 'Lower Member' of the Khuff Formation (Late Permian), Al Qasim Province, Saudi Arabia, Journal of Asian Earth Sciences, 25: 719–734.
- Koch, R., Moussavian, E., Ogorelec, B., Skaberne, D. I., Bucur, I (2002) Development of a Lithocodium (syn. *Bacinella irregularis*)-reefmound-apatch reef within middle Aptian lagoonal limestone sequence near Nova Gorica (Sabotin Mountain, W-Slovenia), Geologija, 45: 71–90.
- Maleki, S., Lasemi, Y (2011) Sedimentary Environment Sequence Stratigraphy of the Fahliyan Formation in Assaluyeh (Bidkhon) and Khartang Sections, Southwest Iran, Journal of Basic and Applied Scientific Research, 12: 2641–2647.
- Maurer, F., Martini, R., Rettori, R., Hillgärtner, H., Cirilli, S (2009) The geology of Khuff outcrop analogues in the Musandam Peninsula, United Arab Emirates and Oman, Journal of GeoArabia, 14: 125–158.
- Mishra, D., Tiwari, R.N (2006) Lithofacies and depositional dynamics of golden oolites (Bathonian), Kachchh Mainland, Gujarat (India), Journal of Asian Earth Sciences, 26: 449–460.
- Murris, R. J (1980) Middle East; Stratigraphic evolution and oil habitat, AAPG Bulletin, 64(5): 597–618.
- Palma, R. M., Lopez – Gomez, J., Piethe, R. D (2007) Oxfordian ramp system (La Manga formation) in the Bardas Blancas area (Mendoza Province) Neuquen basin, Argentina: facies and depositional sequence, Journal of Sedimentary Geology, 195: 113–134.
- Parvaneh Nejad Shirazi, M (2008) Calcareous algae from the Cretaceous of Zagros Mountains (SW Iran), Journal of World Applied Sciences, 4: 803–807.
- Riding, R (1991) Calcareous algae and stromatolites. Springer, Berlin Heidelberg, New York., 571p.
- Sahraeyan, M., Bahrami, M., Hooshmand, M., Ghazi, Sh., Al-Juboury, A (2013) Sedimentary facies and diagenetic features of the Early Cretaceous Fahliyan Formation in the Zagros Fold-Thrust Belt, Iran, Journal of Asian Earth Sciences, 87: 59–70.
- Sarg, J. F (1988) Carbonate sequence stratigraphy. In: Wilgus, C. K., Hastings, B. S., Kendall, C. Cadjenovic, D., Kilibarda, Z., Radulovic, N (2008) Triassic to Late Jurassic evolution of the Adriatic carbonate platform and Budva Basin, Southern Montenegro, Journal of Sedimentary Geology, 24: 1–17.
- Choquette, P. W., Parry, L. C (1970) Geological nomenclature and classification of porosity in the sedimentary carbonate, AAPG Bulletin, 54: 205–207.
- Dickson, J. A. D (1966) Carbonate identification and genesis as revealed by staining, Journal of Sedimentary Research, 36 (2): 491–505.
- Dunham, R. J (1962) Classification of carbonate rocks according to depositional texture In: Ham, W.E. Classification of carbonate rocks. AAPG, Memoir, 1: 108–121.
- Embry, A. F., Klovan, J. E (1971) A Late Devonian reef tract on northeastern Banks Island, NWT, Bulletin of Canadian, Journal of Petroleum Geology, 19: 730 – 781.
- Emery, D., Myres, K. J (1996) Sequence stratigraphy. Black well Science Ltd, Oxford, 297p.
- Friedman, G (1995) The arid peritidal complex of Abu Dhabi: a historical perspective, Journal of Carbonates Evaporites, 10: 2–7.
- Flügel, E (2010) Microfacies of Carbonate Rocks: Analysis, Interpretation and Application, second ed. Springer-Verlag, Berlin, 984p.
- Gaumet, F., Van Buchem, F., Baghbani, D., Keyvani, F., Ashrafzadeh, R., Bahrami, H., Assilian, H (2005) Sequence stratigraphy of the Jurassic and Lower Cretaceous in the Dezful Embayment (Southwest Iran), NIOC-IFP joint research project, Geological Report 2139, 79p.
- Hosseini, S.A., Conrad, M (2008) Calcareous algae, foraminifera and sequence stratigraphy of the Fahliyan Formation at Kuh-e-Surme (Zagros Basin, SW of Iran), Journal of Geologica Croatica, 61: 215–237.
- Hosseini, S.A., Conrad, M., Kindler, P (2013) *Iranella inopinata* Gollestaneh 1965, a puzzling dasycladalean alga from the Lower Cretaceous shallow carbonate shelf deposits of the Zagros fold-thrust belt, SW Iran, Journal of Facies, 59: 231–245.
- Hunt, D., Tucker, M. E (1992) Stranded parasequences and the forced regressive wedge systems tract: deposition during base-level fall, Journal of Sedimentary Geology, 81: 1–9.
- Jamalian, M., Adabi, M. H., Moussavi, M. R., Sadeghi, A., Baghbani, D., Ariyafar, B (2011) Facies characteristic and paleoenvironmental reconstruction of the Fahliyan Formation, Lower Cretaceous, in the Kuh-e Siah area, Zagros Basin, southern Iran, Journal of Facies, 57: 101–122.
- Jamalian, M., Adabi, M. H (2015) Geochemistry, microfacies and diagenetic evidences for original aragonite mineralogy and open

- G. St. C., Posamentier, H. W., Ross, C. A. & Van Wagoner, J. C. (eds) Sea-Level Changes: an Integrated Approach, SEPM Special Publication, 42: 155-181.
- Sarg, J. F (2001) The sequence stratigraphy, sedimentology, and economic importance of evaporite–carbonate transitions. A review, *Journal of Sedimentary Geology*, 140: 9–42.
- Shakeri, A., Parham, S (2013) Reservoir Characterization and Quality Controlling Factors of the Fahliyan Formation Located in Southwest Iran, *Journal of Sciences Islamic Republic of Iran*, 24 (2): 135-148.
- Shakib, S. S (1994) Paleoenvironmental and biostratigraphic significance of foraminiferal associations from the Early Cretaceous sediments of southwest Iran: In: Simmons, M. D. ed. Micropaleontology and Hydrocarbon Exploration in the Middle East. Chapman and Hall, London, 127–150.
- Sharland, P. R., R., Archer, D. M., Casey, R. B., S. H., Davies, Hall, A. P., Heward, A., Horbury, Simmons, M. D (2001) Arabian plate sequence stratigraphy. *Journal of GeoArabia*, Special Publication, 2: 1-371.
- Tucker, M. E (1991) Carbonate diagenesis and sequence stratigraphy. In: Wright VP (Ed.), *Sedimentology Review*, Blackwells, Oxford, 51-72.
- Tucker, M. E (2001) *Sedimentary Petrology: an introduction to the origin of sedimentary rocks*: Blackwell, Scientific Publication, London, 260p.
- Van Buchem, F. S .P., Gaumet, F., Vedrenne, V., Vincent, B (2006) MiddleEast Cretaceous sequence stratigraphy study, part1- SW Iran, National Iranian Oil Company (NIOC) internal report.
- Wanless, H. R (1979) Limestone response to stress: pressure solution and dolomitization, *Journal of Sedimentary Petrology*, 49: 437-462.
- Warren, J (2000) Dolomite: occurrence, evolution and economically important associations, *Journal of Earth Science Reviews*, 52: 1–81.
- Warren, J. K (2006) Evaporites: sediments, resources and hydrocarbons. Springer Verlag, Brunei, 1035 p.
- Wilson, J. L (1975) *Carbonate Facies in Geologic History*. Springer - Verlag, 471p.
- Wertz, M. L (2009) Paleoenvironmental reconstruction of coral caverns, Bedford County. Pennsylvania, NCS, 43rd Annual Meeting 9(6): 210-217.
- Ziegler, M. A (2001) Late Permian to Holocene paleofacies evolution of the Arabian Plate and its hydrocarbon occurrences, *Journal of GeoArabia*, 6: 445–504.